

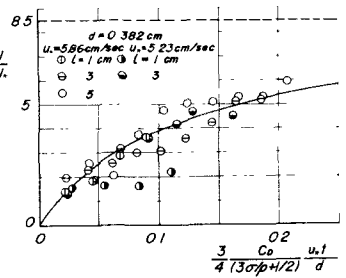
砂れきの saltation の機構について

京都大学工学部 正会員 土屋 義人
大阪府土木部 " 渡戸 健介

1. 緒言 掃流砂れきの運動は、河床面近くに限定されており、その機構を明確に把握するのは非常に困難な問題である。本研究では、単一砂れきの運動機構を実験的に検討し、従来者の研究を以てして、これに理論的考察を加え、その結果を多数の砂れきが掃流して流送される一般の場合に適用して、砂れきの運動機構を説明しようとするのである。この場合、砂れきの運動を saltation によるものと限定し、砂れきの運動においてこれに考慮しないのは、流床抵抗とすべ運動してゐる砂れきの床面砂れきとの衝突現象である。

2. 単一砂れきの転動機構 比重 $\sigma/\rho = 1.502$, 粒径 $d = 0.382 \text{ cm}$ の砂れきを水石層での実験では、静止した砂れきの移動開始後の運動においては、砂れき少数の水床面に沿って砂れきの運動を観察してあり、跳躍運動は砂れきがある距離移動し、床面のある砂れきと衝突して場合を生じてゐる。ここでは、床面に沿って砂れきの運動を転動 (rolling) と考へると、その転動速度、転動距離およびその分布は、それぞれつぎのようになる。

転動速度: 床面に沿って砂れきの運動は、回転を主伴としてゐるのであり、この回転は砂れきが一瞬間の床面に接触して、十分粗な場合の転動と相違し、砂れきの回転速度の $1/d$ が初動速度に変換されるものと考へる。ここでは、砂れきに働く力として、流床抵抗と床面との摩擦力とを同一砂れきの転動速度と見做し、相対速度の二乗に比例する抵抗則を用いると、砂れきの転動速度の時間的変化は、つぎのようになり得る。



$$U/u^* = A_1^2 t / (1 + A_1 t), \quad U/u^* = A_1^2 B \sqrt{(x/d)} / \{1 + A_1 B \sqrt{(x/d)}\}, \quad B^2 = C_0 / A_1^2 (2\sigma/\rho + 1/2) \quad (1)$$

ここで、 x : 距離, $t = (3/4)(u^* t/d) C_0 / \{1 + (2d/5)\}(\sigma/\rho + 1/2)$, U : 砂れきの速度, u^* : 摩擦速度, t : 時間, C_0 : 砂れきの抵抗力係数, σ/ρ : 定数で完全粗面流の場合 0.5 である。

(1)式において $\alpha = 5$ として実験値と比較したものが図-1 である。すなわち、この結果によると、回転速度の $1/5$ が砂れきと床面との接触条件より初動速度に変換されることを示しており、転動する砂れきが床面の下のより大きい場合には、当然この値は若干変わる。

転動距離: 砂れきの移動開始より跳躍に移行するまでの転動距離 l_m は、跳躍開始条件によって規定される。この条件は、転動速度がある限界値以上に達した場合に可視性のないと考へられ、ここでは床面上に高さ Δ を有する突起がある場合に、これを砂れきが滑ることとする。この条件とする。このように考へた場合の転動距離の平均値 l_m と掃流力との関係は、つぎのようになり得る。

$$l_m/d = \left\{ (2\sigma/\rho + 1/2) (u^*/u^*) (\rho/\sigma) (d/d) \right\} / C_0 \left[A_1 (1 - \alpha/5) (d/d) - \sqrt{ (1/4) (u^*/u^*) (\rho/\sigma) (d/d) (\sigma/\rho - 1) g d / u^{*2} } \right] (\sigma/\rho - 1) 3d / u^{*2} \quad (2)$$

(3)式において、 $d/d = 0.96$ とし、図-1は、図-2と示されており、掃流力が小さい場合に適用でき、掃流力の減少と共に跳動距離は増加し、 σ の比重が大きい場合には跳動距離は小さくなることとなる。

跳動距離の分布：前述した跳動距離は平均値に対するものだが、一般に跳躍に初行する条件は、河床の不均一な床面状態や跳動速度の変動などによって、平均値のまわりにある分布をもち、ここで、跳躍にいつの過程と一つの確率過程であるとして、その初行確率が跳動距離 l によって一定な場合には、その確率密度関数は、

$$f(l/d) = A \exp(-\lambda l/d) \quad (3)$$

であり、 λ は跳動速度が増加することによって、初行確率が距離に比例するものと仮定すれば、(3)の結果がえられる。

$$f(l/d) = A(l/d) \exp\{-A(l/d)\} \quad (4)$$

ここに、 $A = d/l_m$ 、 $A = (\pi/2)(d/l_m)^2$ である。図-3は(3)および(4)式であることの分散 σ_l^2 の掃流力による変化を示している。この結果から、(3)式であることの分散 σ_l^2 の掃流力による変化を示している。この結果から、(3)式であることの分散 σ_l^2 の掃流力による変化を示している。

床面との摩擦がない場合の跳動：これは、掃流力が小さい場合のものである。掃流力が大きくなると、跳動距離は小さくなり、跳躍に初行する過程は初動開始時の最初の床面との衝突によって始まるものと考えられる。したがって、この場合は床面との摩擦を考慮され、跳動距離は柱径の1~2倍程度であると考えられる。最初に摩擦を考慮する場合は、図-2に1, 2, 3と示して直線のようにあらわすことができる。この場合の跳動速度は運動方程式から次のようにあらわされる。

$$U/u_* = (U/u_*') \sqrt{2(X/d)N} / \{ \sqrt{2(X/d)N} + 1 \} \quad (5)$$

ここに、 u は初動の速さにおける流速、 $N = (3/4)C_0/(\sigma\rho + 1/2)$ 。

3. 単一初動の跳躍機構 跳動運動によつて生じた水平方向の初動の速度 U_0 は河床の初動との衝突によって跳躍運動に初行し、その水平および鉛直方向の初速度を U_0' および U_0'' とする。ここでは、この変換を簡単に考え、変換係数 β による衝突による散乱を仮定する。すなわち、 $U_0' = \beta U_0$ とすると、初動の跳躍高さ h は、速度の2乗に比例する。

図-5 跳躍高さの分布
 抗阻を用いた運動方程式より、 $K^2 = (4/3) \{ (\sigma\rho - 1) / C_0 \} (gd/u_*'^2)$ であり、 $\bar{U}_0 = U_0/u_*'$ とおき、 $h/d (= \bar{h}_m) = (2/3) \{ (\sigma\rho + 1/2) / C_0 \} (\beta \bar{U}_0 / K)^2$ (6)

とす。 (6)式によつて跳躍高さの平均値 \bar{h}_m は U_0 によつて決定されるので、 U_0 として(5)と(6)式を用いると、それぞれの場合に於いて、(3)の関係がえられる。

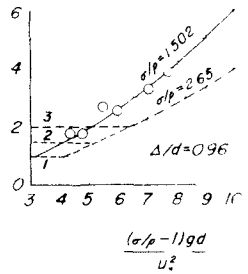


図-2 跳動距離 l_m

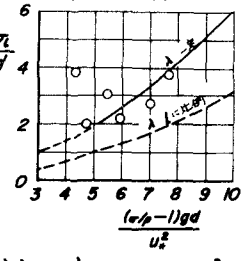


図-3 跳動距離の分散 σ_l^2

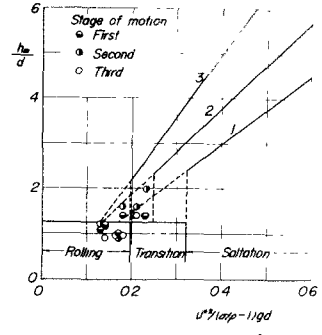


図-4 初動の跳躍高さ

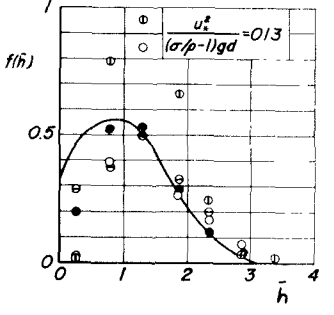


図-5 跳躍高さの分布

